

УДК 541.44

ФИЗИЧЕСКАЯ ХИМИЯ

В.Е. АНТОНОВ, И.Т. БЕЛАШ, В.Ю. МАЛЫШЕВ, Е.Г. ПОНЯТОВСКИЙ, Н.А. ТУЛИНА  
**РАСТВОРИМОСТЬ ВОДОРОДА В РЕНИИ ПРИ ДАВЛЕНИЯХ ДО 90 КБАР**

*(Представлено академиком Ю.А. Осипьяном 22 VII 1982)*

Эффективным методом получения водородонасыщенных фаз переходных металлов является прямой контакт металла с молекулярным водородом, термодинамический потенциал которого увеличен за счет сжатия до высоких давлений. Именно так были впервые синтезированы гидриды марганца, железа, кобальта, молибдена, технеция, родия и целого ряда их сплавов [1]. Взаимодействие рения с водородом высокого давления ранее не изучалось.

В данной работе исследованы поведение электросопротивления рения и растворимость в нем водорода при давлениях до 90 кбар и на образцах, насыщенных водородом при высоком давлении, затем при атмосферном давлении изучено влияние водорода на кристаллическую структуру и сверхпроводящие свойства рения.

Водород сжимали в камере типа "Наковални с лункой" методом, предложенным в [2]. Точность измерения давления составляла  $\pm 5$  кбар, температуры  $\pm 15$  °С. В процессе измерения сопротивления температуру поддерживали постоянной с точностью  $\pm 2$  °С. Для изготовления всех образцов, кроме предназначавшихся для рентгеновских измерений, использовали монокристаллы с отношением удельных сопротивлений  $\rho_{293\text{K}}/\rho_{4,2\text{K}} \approx 150$ , выплавленный электронно-лучевым методом в вакууме из штабикового рения. Кристалл разрезали на электроискровом станке на пластинки под углом 45° к направлению ⟨001⟩, электрополировкой снимали с пластин поврежденный поверхностный слой  $\sim 0,1$  мм, вырезали из них образцы необходимых размеров и вновь подвергали электрополировке.

Образцы для измерения электросопротивления имели размеры  $4 \times 0,8 \times 0,1$  мм и были вырезаны в одинаковом кристаллографическом направлении. Поведение электросопротивления таких образцов при ступенчатом повышении давления в инертной среде (силикон) и в атмосфере водорода при температуре 250 °С показано на рис. 1. Как видно из рисунка, по мере увеличения давления кривая  $R(P_{\text{H}_2})$  все сильнее отклоняется от аналогичной кривой для рения в инертной среде. Следует отметить, что если при измерениях в инертной среде сопротивление образца не изменялось после прекращения изменения давления, то изменение давления водорода приводило к появлению временного дрейфа сопротивления при фиксированных  $T$  и  $P_{\text{H}_2}$ , продолжавшегося несколько часов (на рис. 1 нанесены конечные значения  $R$ ). Поведение электросопротивления, таким образом, указывает на заметное увеличение растворимости водорода в рении с повышением давления. Длительный дрейф сопротивления после изменения давления водорода, обусловленный диффузионным характером образования твердых растворов Re—H, свидетельствует о довольно вялой кинетике достижения этими растворами равновесной концентрации при  $T = 250$  °С.

Образцы для исследования растворимости водорода в рении при высоком давлении представляли собой пластинки размерами  $3,5 \times 3,5 \times 0,2$  мм. После насыщения их водородом при выбранных давлениях и температуре камеру высокого давления охлаждали до  $\approx -120$  °С, давление снижали до атмосферного, образцы

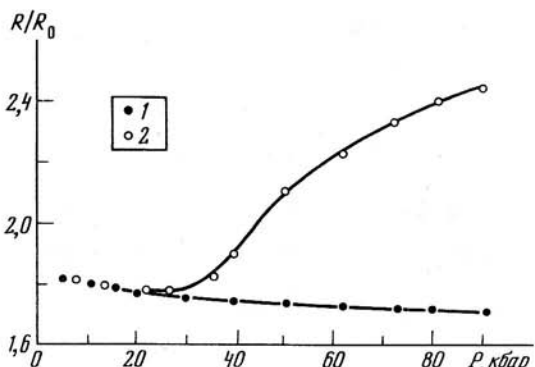


Рис. 1. Изотермы электросопротивления рения при  $T = 250^\circ\text{C}$ . 1 – в инертной среде; 2 – в водороде.  $R_0$  – сопротивление образцов при атмосферном давлении и комнатной температуре

Часть водорода выделялась из них при атмосферном давлении и его собирали в стеклянную емкость с мерными делениями, заполненную силиконом. Остаток водорода (обычно достигавший атомного отношения водород/металл  $n \approx 0,03$ ) выделяли нагревом до  $500^\circ\text{C}$  в замкнутой и предварительно откаченной емкости известного объема (проверка показала, что отжиг в вакууме при  $T = 300^\circ\text{C}$  в течение 1 ч достаточен для полного удаления водорода из образцов).

Для определения зависимости  $n(P_{\text{H}_2})$  при  $T = 250^\circ\text{C}$  образцы выдерживали при высоком давлении в течение 20 ч. Эксперименты показали, что при этой температуре растворимость водорода в рении монотонно возрастает с давлением, достигая  $n = 0,06 \pm 0,03$  при  $P_{\text{H}_2} = 70$  кбар и  $n = 0,13 \pm 0,03$  при  $P_{\text{H}_2} = 90$  кбар. При давлении водорода 90 кбар его равновесная концентрация в рении увеличивается с понижением температуры и при  $T = 170^\circ\text{C}$  составляет  $n = 0,22 \pm 0,03$ . Ввиду вялости кинетики гидрирования при  $T = 170^\circ\text{C}$  для получения растворов Re–H с этим максимальным для данной работы содержанием водорода образцы предварительно выдерживали в течение 15 ч при  $T = 250^\circ\text{C}$ , а затем 15 ч при  $T = 170^\circ\text{C}$ .

Рентгеновские измерения проводили при  $T = 90$  К фотометодом на дифрактометре ДРОН-2,0 с использованием  $\text{FeK}_\alpha$ -излучения. Образцы размерами  $3,5 \times 3,5 \times 0,2$  мм изготавливали из штабикового рения, что позволяло получать порошковые рентгенограммы. В пределах точности эксперимента растворимость водорода в штабиковом рении при высоком давлении и кинетика гидрирования были те же, что и в случае монокристаллического рения, и образцы Re–H на его основе получали аналогичным образом.

Данные рентгеновских измерений приведены на рис. 2. Исходный рений имеет г.п.у. решетку с отношением  $c/a = 1,615$ , что несколько меньше идеального. Внедрение водорода не изменяет симметрии кристаллической решетки рения, а приводит лишь к монотонному увеличению ее параметров, причем параметр  $a$  растет быстрее, чем  $c$ , и при  $n = 0,22$  отношение  $c/a$  уменьшается до 1,591. Увеличение объема  $V_a$ , приходящегося на атом рения, составляет  $\partial V_a / \partial n \approx 2,5 \text{ \AA}^3$ , что близко к значению  $\partial V_a / \partial n$  для растворов водорода на базе г.ц.к. сплавов палладия и никеля и заметно превышает  $\partial V_a / \partial n$  для растворов Mn–H, Fe–Mn–H и Co–H с г.п.у. решеткой металла [1]. После удаления водорода из образцов Re–H значения параметров г.п.у. решетки рения возвращались к исходным.

Исследование влияния водорода на температуру  $T_k$  перехода рения в сверхпроводящее состояние проводилось при  $T \geq 1,4$  К индуктивным методом на тех же монокристаллических образцах, что использовались для изучения растворимости водорода в рении при высоких давлениях. Эксперименты показали, что, как и в случае ближайшего аналога рения, технеция [3], внедрение водорода вызывает понижение  $T_k$ . Результаты измерений приведены на рис. 3. Значения  $T_k$  определя-

извлекали из камеры и впредь до начала измерений хранили в жидким азоте. При атмосферном давлении заметное выделение водорода из полученных таким способом растворов Re–H начиналось при  $T \geq 0^\circ\text{C}$ . Полное содержание водорода в образцах определяли в две стадии.

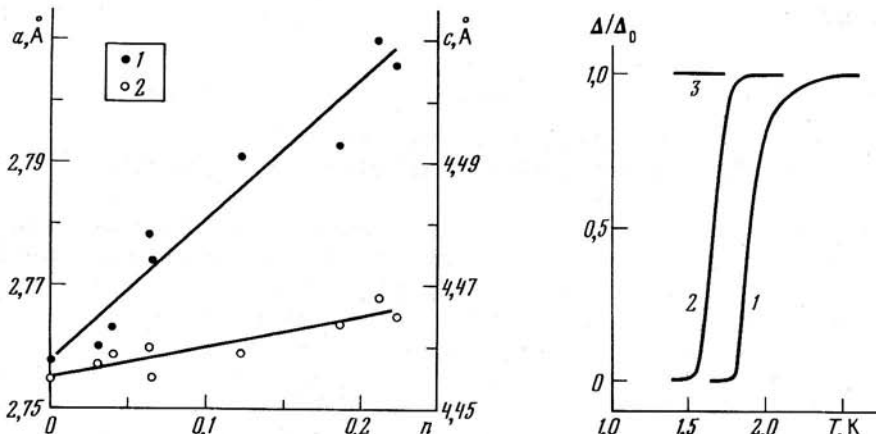


Рис. 2. Зависимости параметров г.п.у. подрешетки рения в растворах Re–H от концентрации водорода при  $T = 90$  К. 1 – параметр  $a$ ; 2 –  $c$

Рис. 3. Температурные зависимости сигнала  $\Delta$  разбаланса моста переменного тока в окрестностях переходов растворов Re–H в сверхпроводящее состояние. 1 –  $n = 0$ ; 2 –  $0,03$ ; 3 –  $0,07$ .  $\Delta_0$  – величина сигнала для образцов в нормальном состоянии

ли по положению середины ступеньки на температурной зависимости  $\Delta(T)$  сигнала разбаланса моста переменного тока. Как видно из рисунка, исходный рений имел  $T_k = 1,87$  К, у раствора Re–H с  $n = 0,03 \pm 0,01$   $T_k$  понижалась до 1,66 К, а у раствора с  $n = 0,07 \pm 0,02$  опускалась ниже 1,4 К. После полного удаления водорода из образцов Re–H путем отжига в вакууме в течение 1 ч при  $T = 300$  °С температура перехода рения в сверхпроводящее состояние возвращалась к исходному значению 1,87 К. Отсутствие необратимых изменений  $T_k$  рения после цикла гидрирование–дегидрирование дает основание полагать, что значения  $T_k$  изученных растворов Re–H однозначно связаны с их концентрацией.

Институт физики твердого тела  
Академии наук СССР,  
Черноголовка Московской обл.

Поступило  
13 VIII 1982

#### ЛИТЕРАТУРА

1. Понятовский Е.Г., Антонов В.Е., Белащ И.Т. – УФН, 1982, т. 137, вып. 4, с. 663–705.
2. Белащ И.Т., Понятовский Е.Г. Авт. свид. 741105; Бюл. изобр., 1980, № 22, с. 223. 3. Спицын В.И., Антонов В.Е., Балаховский О.А. и др. – ДАН, 1981, т. 260, № 1, с. 132–135.